

FIG. 1 (a)

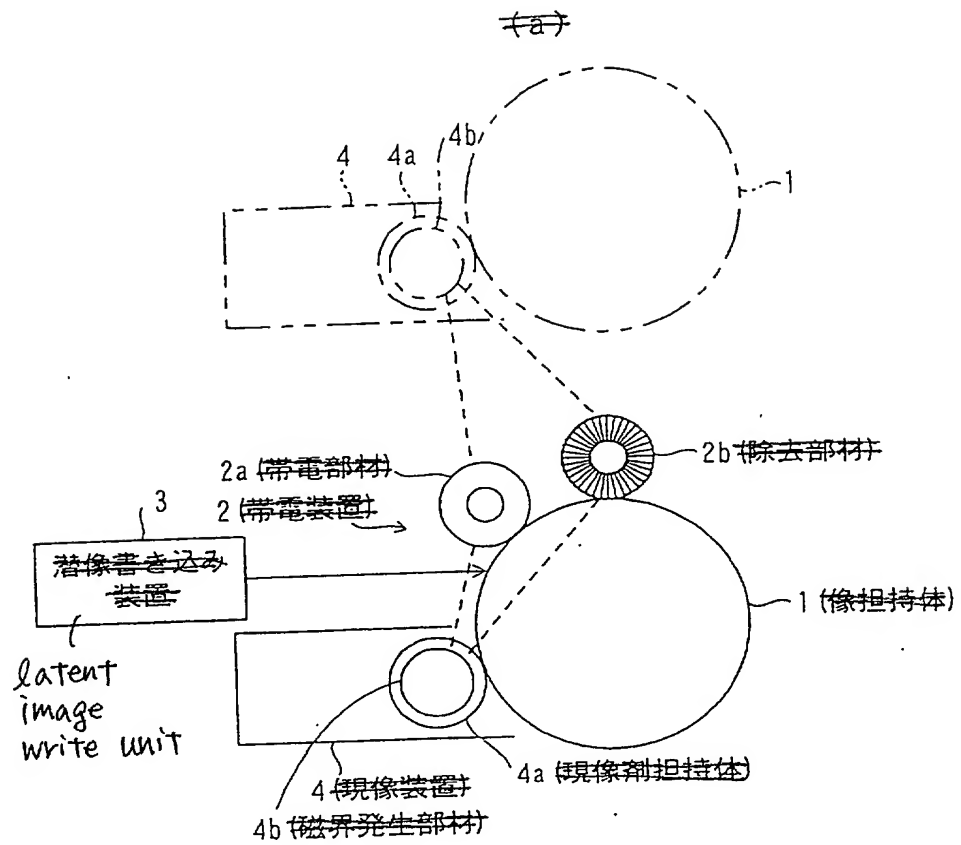
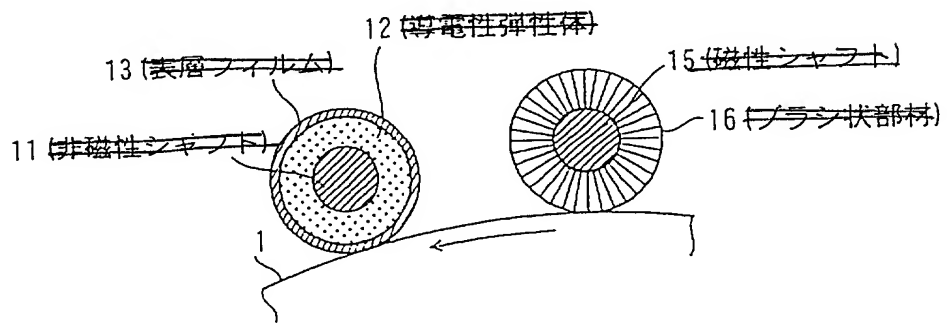


FIG. 1 (b)



2/32

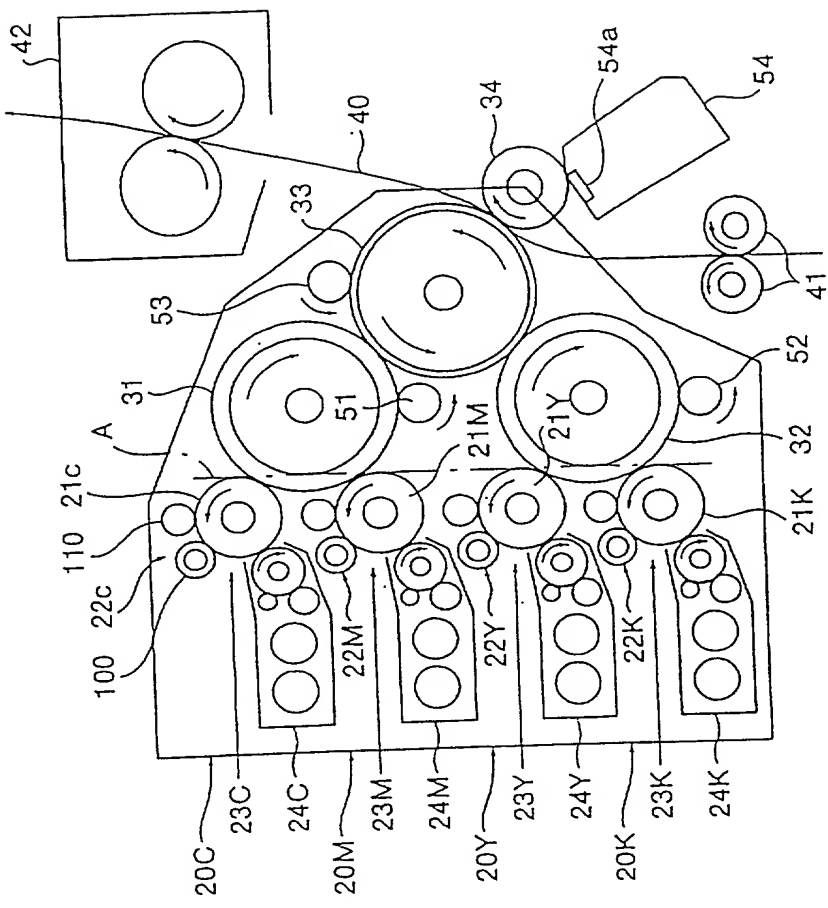
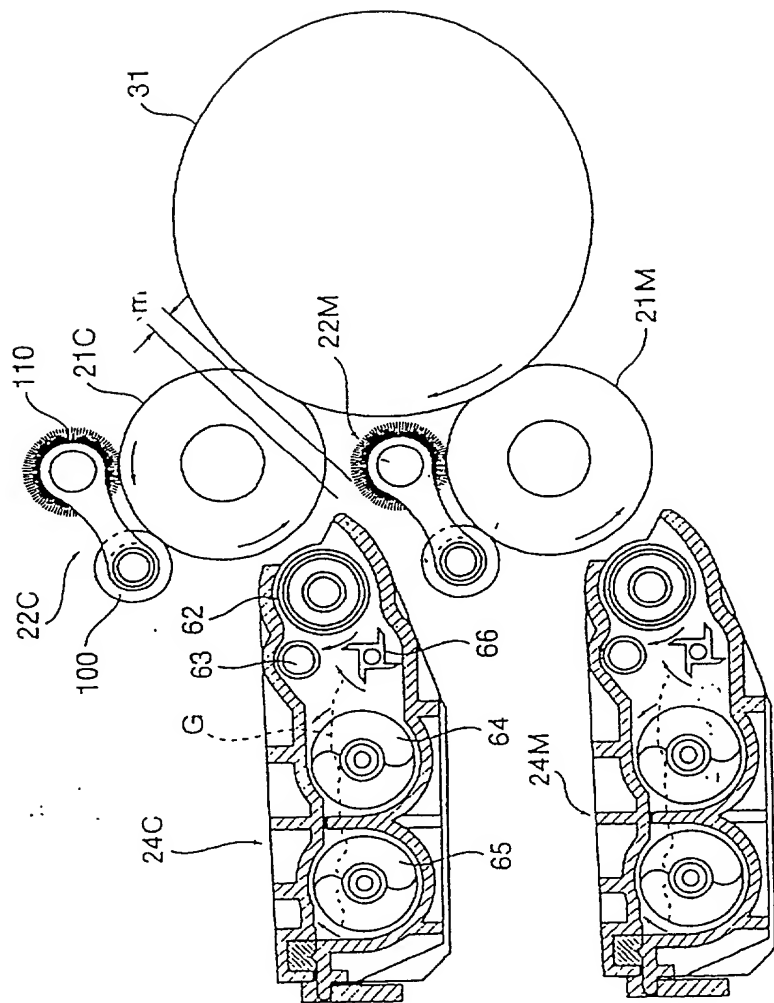


Fig. 2

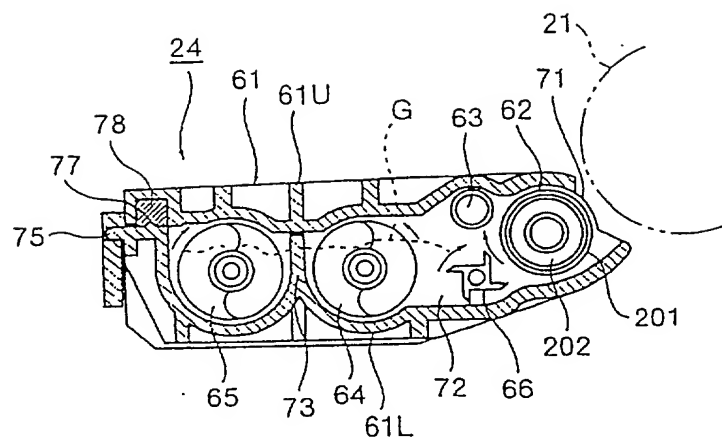
3/32

FIG: 3



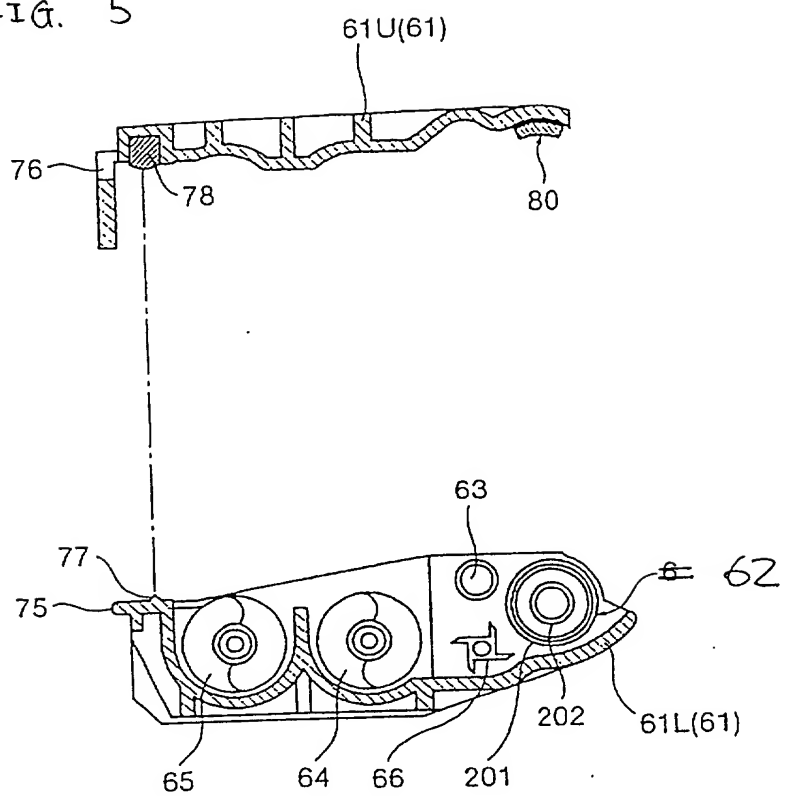
4/32

FIG. 4



5/32

FIG. 5



6/32

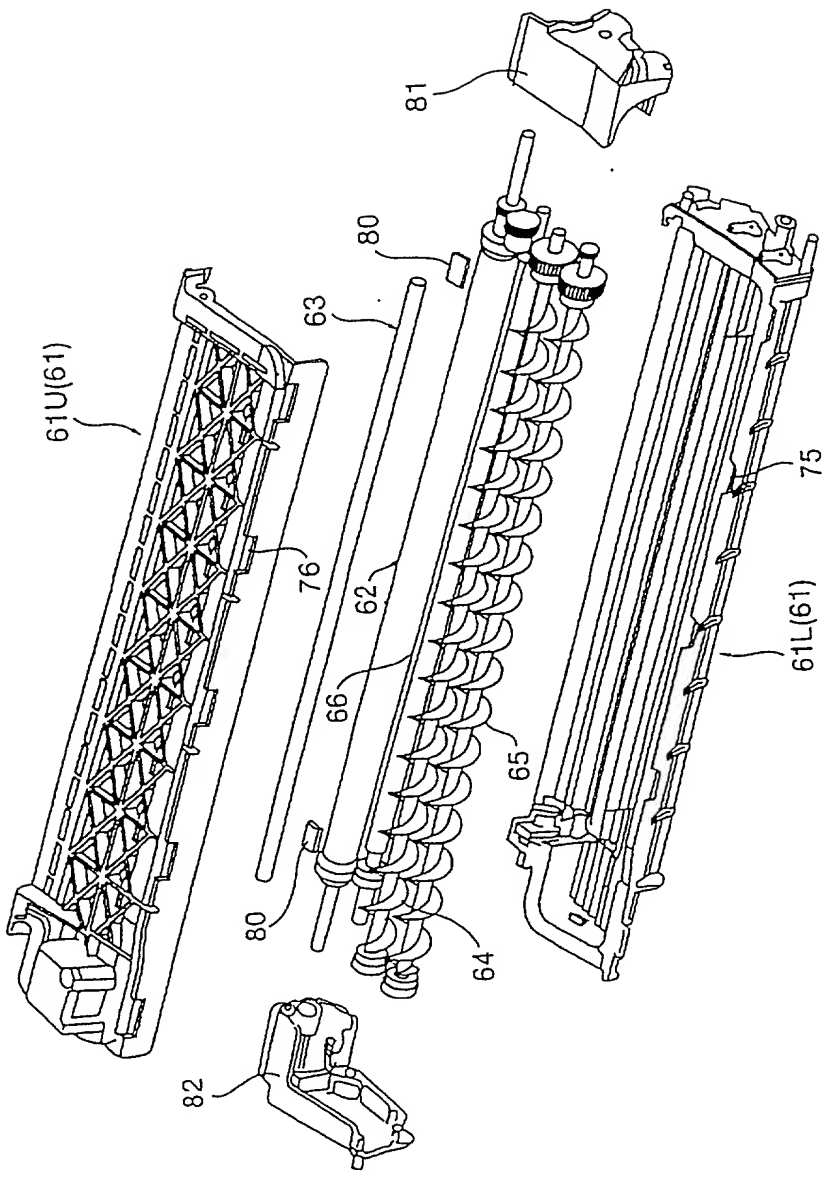
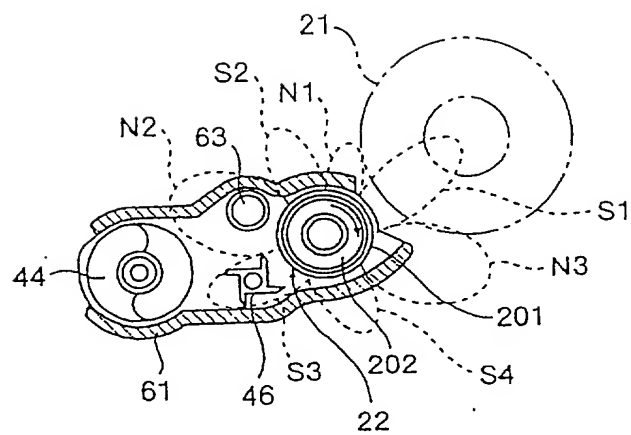


Fig. 6

7/32

FIG. 7



8/32

FIG. 8(a)

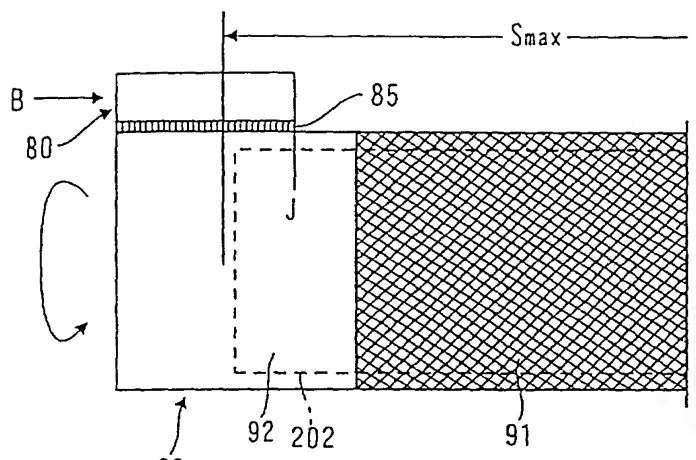


FIG. 8(b)

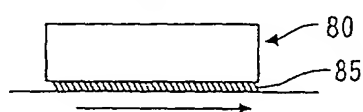


FIG. 9

FIG. 9(a)

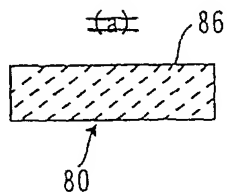


FIG. 9(b)

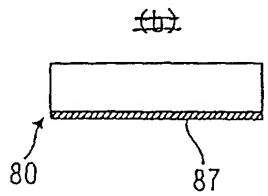
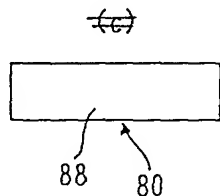


FIG. 9(c)



9/32

FIG. 10 (a)

(a) 実施の形態モデル

model according to first embodiment

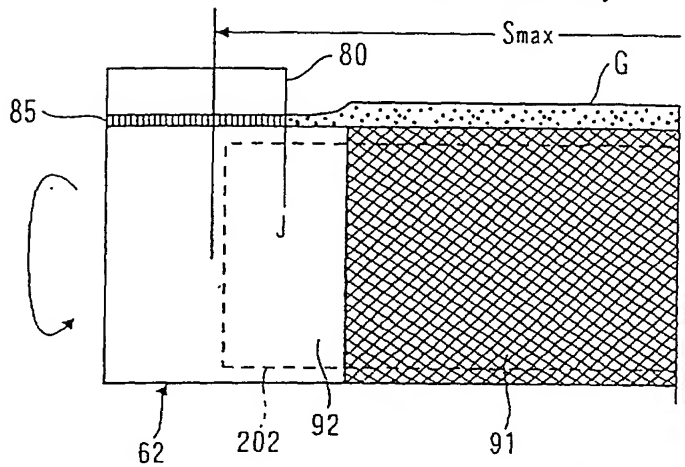
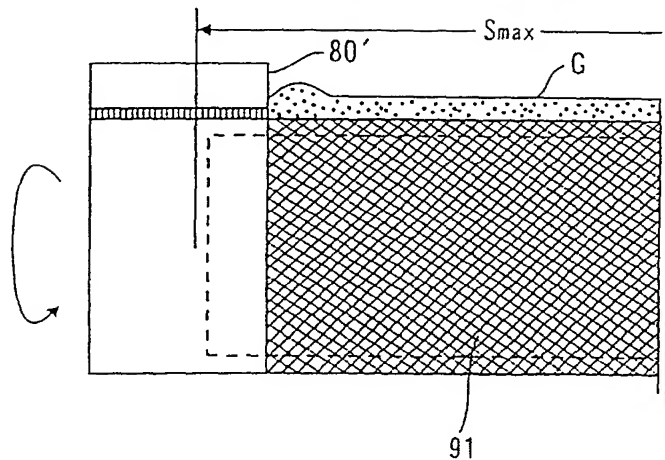


FIG. 10 (b)

(b) 比較の形態モデル

comparative model



10/32

FIG. 11(a)

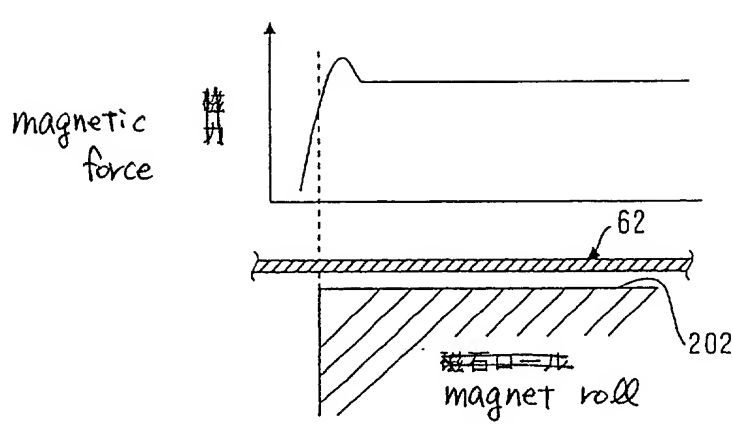
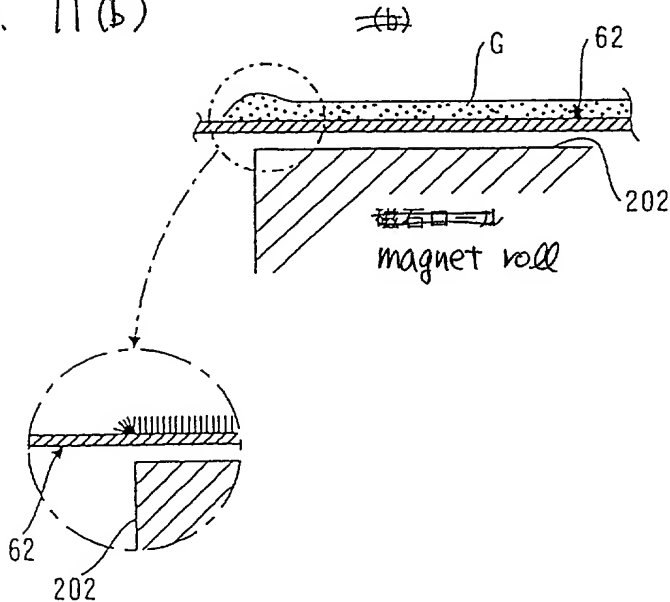


FIG. 11(b)



11/32

FIG. 12 (a)

(a)

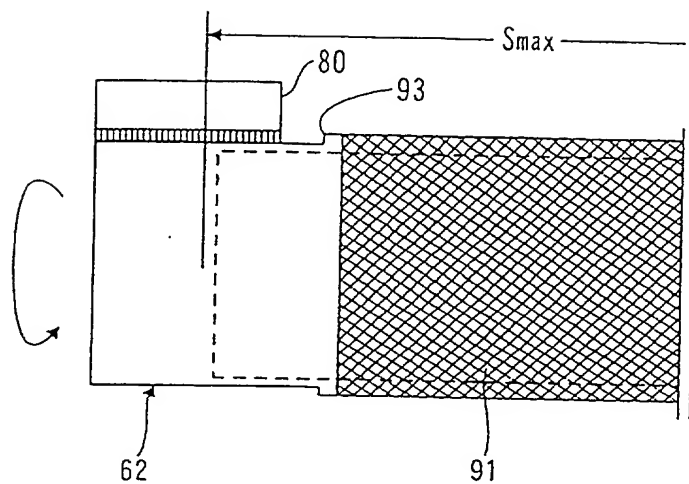
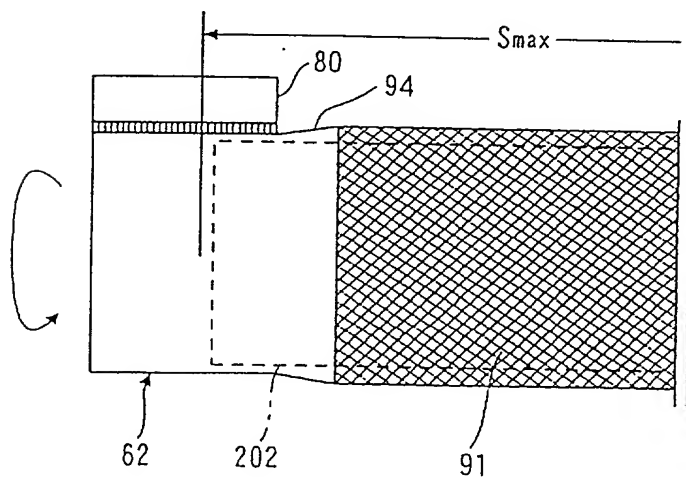


FIG. 12 (b)

(b)



12/32

Fig. 13

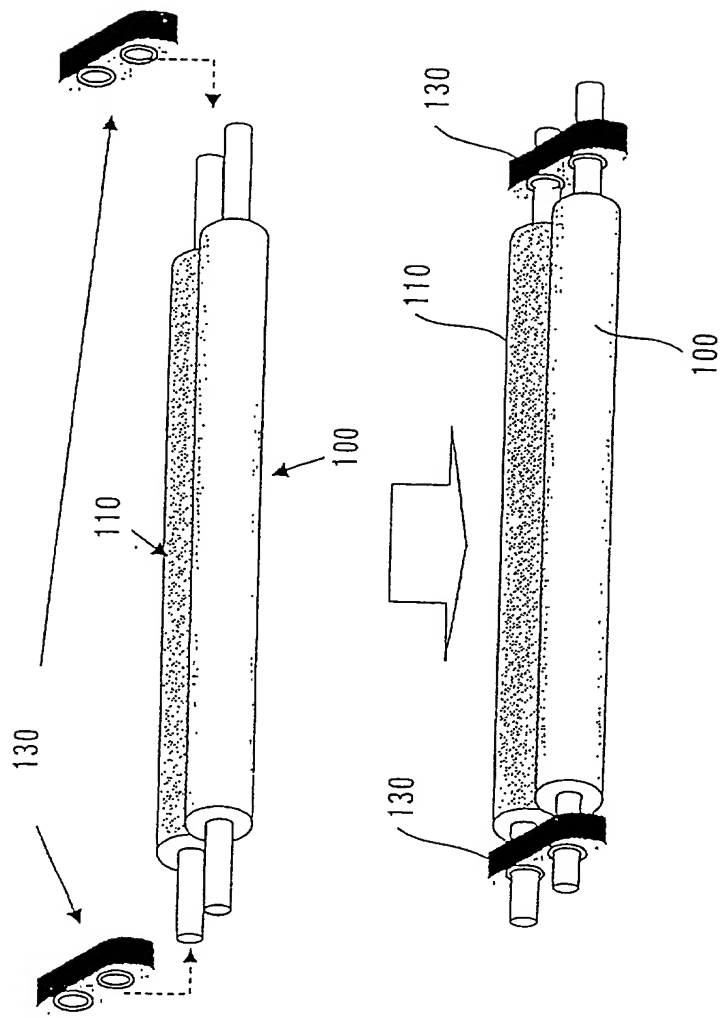


FIG. 14 (a)

13/32

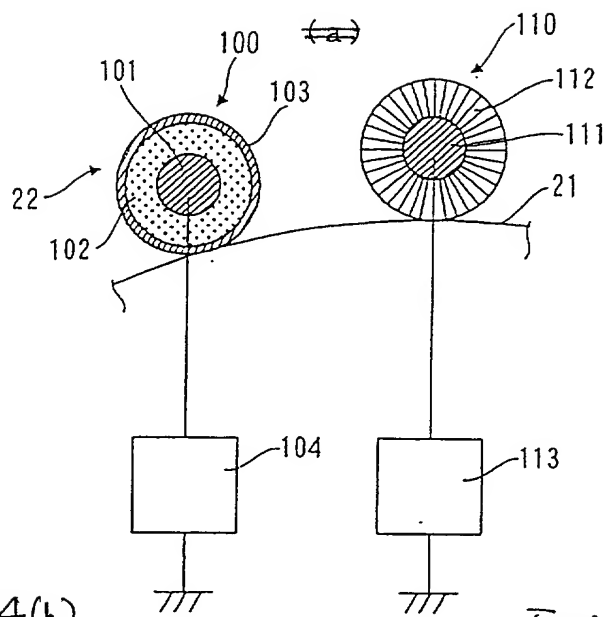


FIG. 14(b)

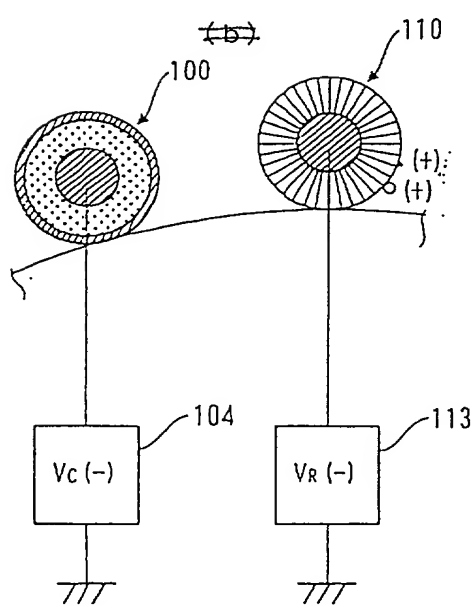


FIG. 14(c)

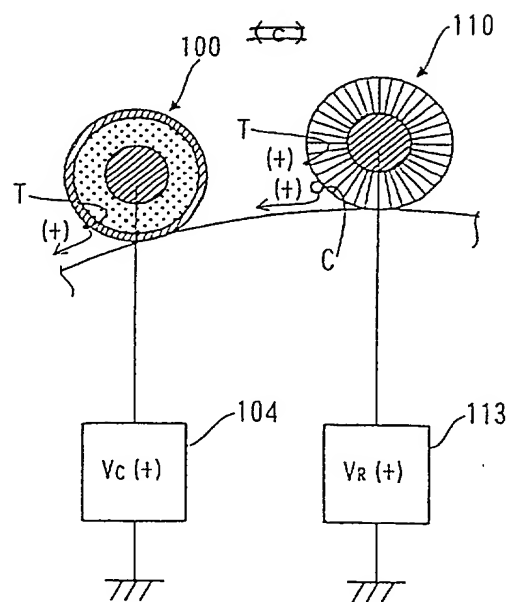


FIG. 15 (a)

end part spot caused by BCO/carrier scatter
 ● ~~BCO/キャリア飛散による端部斑点~~

薄層塗規制 位置～プラス 端部距離	用紙 端部位置	用紙端部～プラス端部 距離		
		3mm	4mm	5mm
0mm	×	○	△	△
1mm	—	△	○	○
2mm	—	△	○	○

distance between
paper end part
and
plast end part

distance
between
thin layer
area
regulation
position
and
plast
end
part

FIG. 15 (b) fogging at upper end part of photoconductor drum

● ~~感光体ドラム上端部カス~~

薄層塗規制 位置～プラス 端部距離	用紙 端部位置	用紙端部～プラス端部 距離		
		3mm	4mm	5mm
0mm	×	△	△	△
1mm	—	△	○	○
2mm	—	○	○	○

※ プラント中シャットダウン

FIG. 15 (c) dirty level of driver gear in periphery of developing roll end part

● ~~現像ロール端部周辺駆動ギヤ汚染~~

薄層塗規制 位置～プラス 端部距離	用紙 端部位置	用紙端部～プラス端部 距離		
		3mm	4mm	5mm
0mm	×	△	○	○
1mm	—	○	○	○
2mm	—	○	○	○

↓ shutdown during print,
tape transfer

15/32

Fig. 16

charging shaft

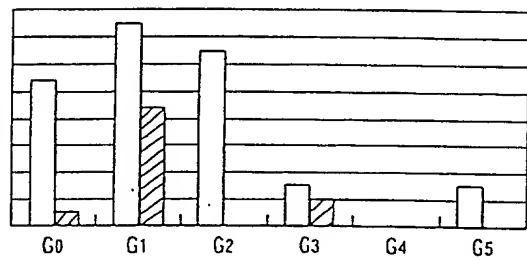
電極: SUM

電極: SUM

refresher shaft

BKG ~~斑点~~ spot

occurrence
ratio

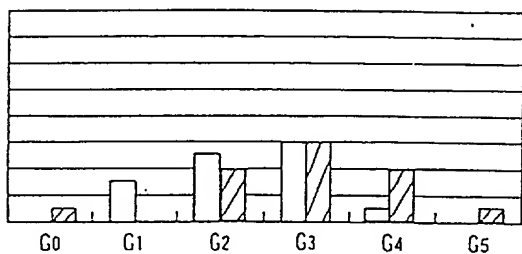


independent
spots

continuous
spots

occurrence
ratio

IMG ~~斑点~~ spot



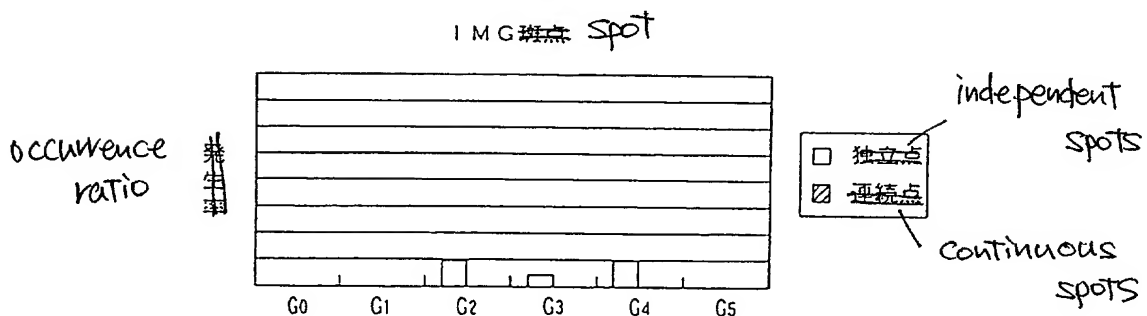
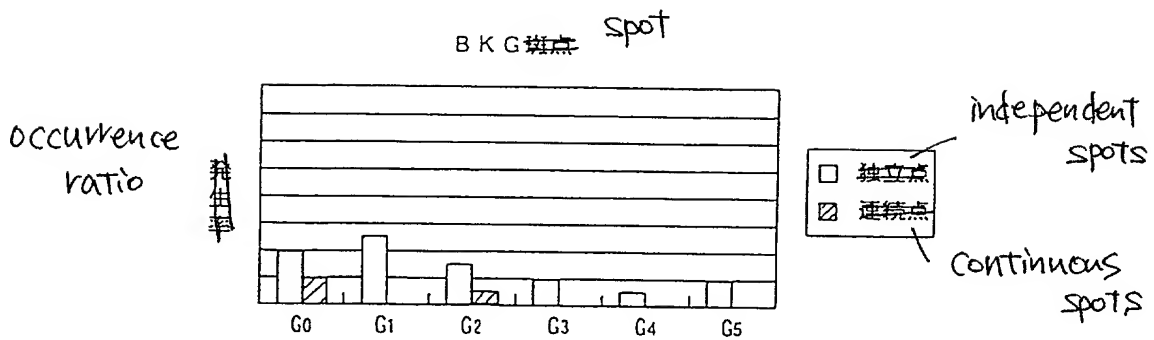
independent
spots

continuous
spots

16/32

FIG. 17

charging shaft
~~電極~~: SUS303Cu
~~リフレッシャー~~: SUM
refresher shaft



17/32

Fig. 18 charging shaft

基部材: SUS303Cu

サブアーム: SUS303Cu

refresher shaft

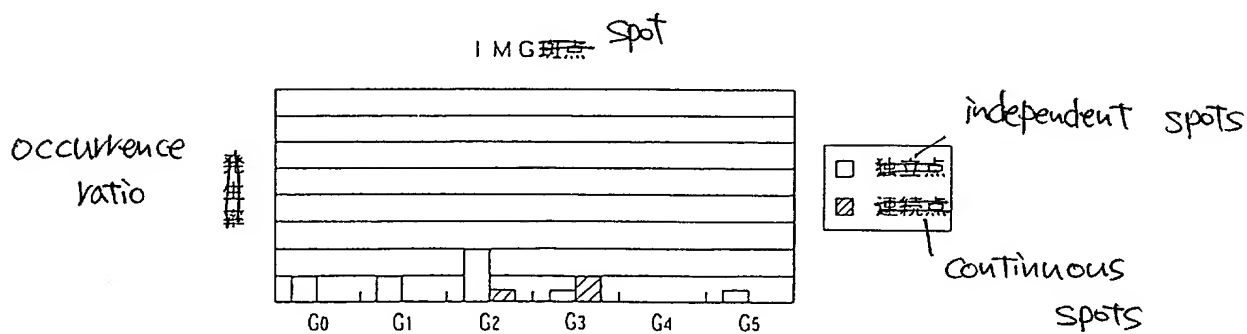
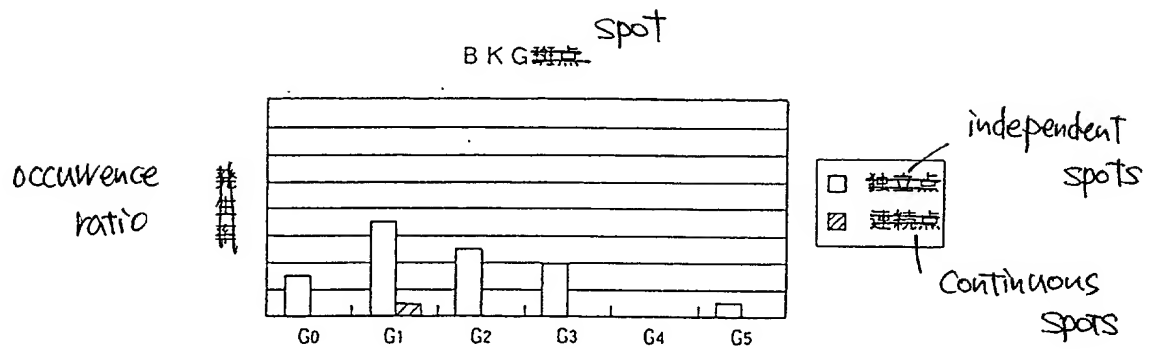
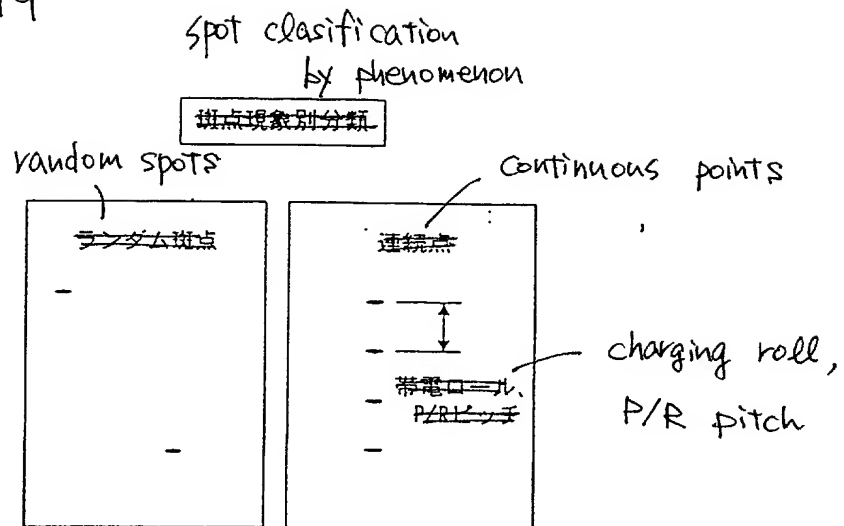
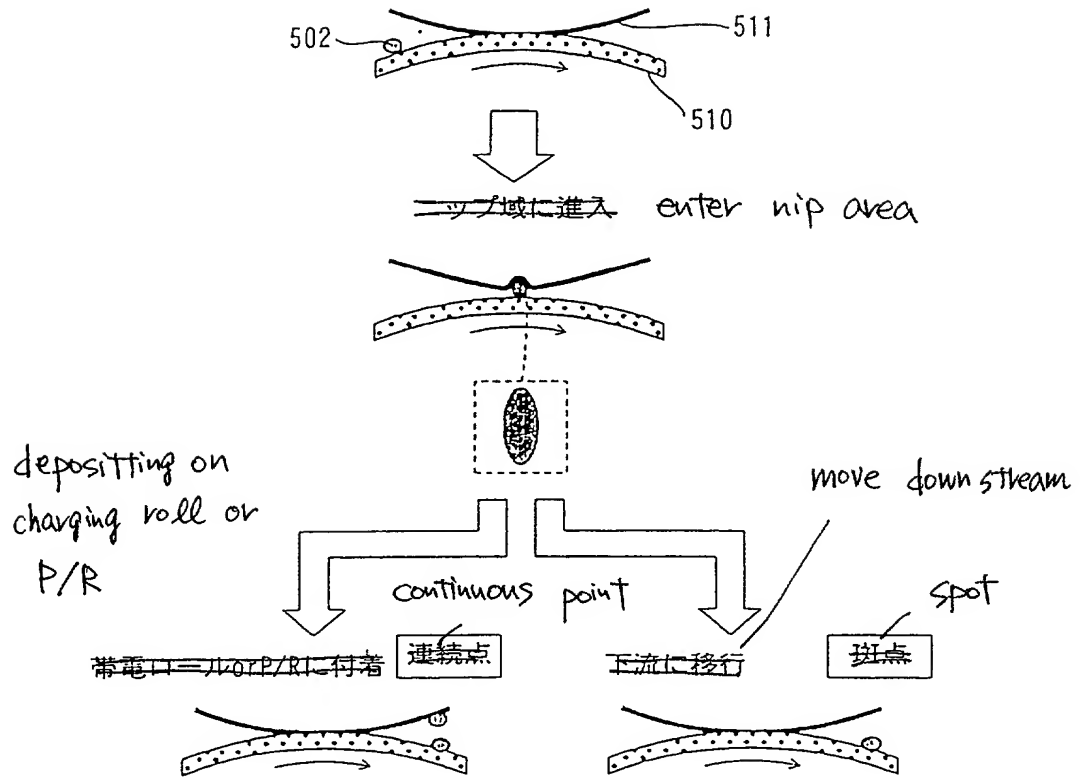


FIG. 19



19/32

Fig. 20



20/32

図21 FIG. 21 (a)

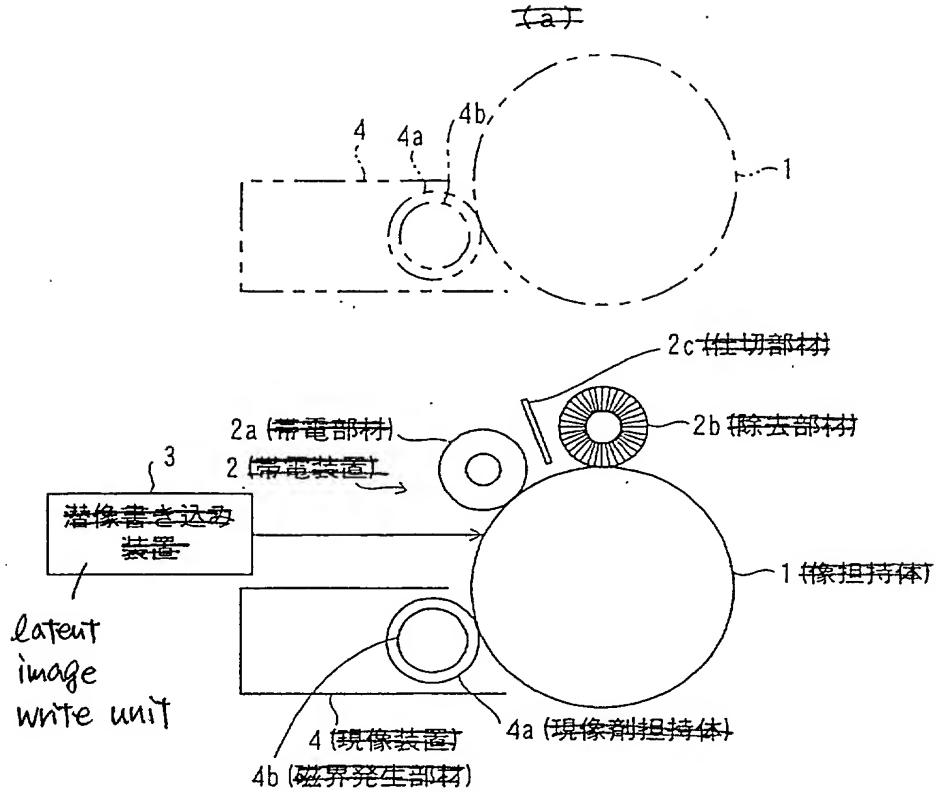


FIG. 21 (b)

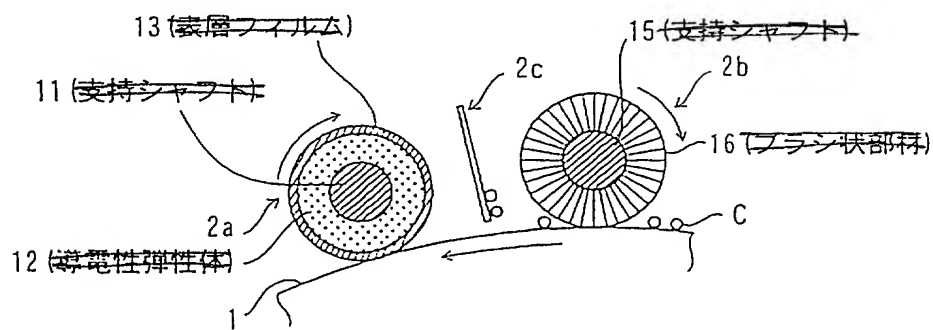


FIG. 22 (a)

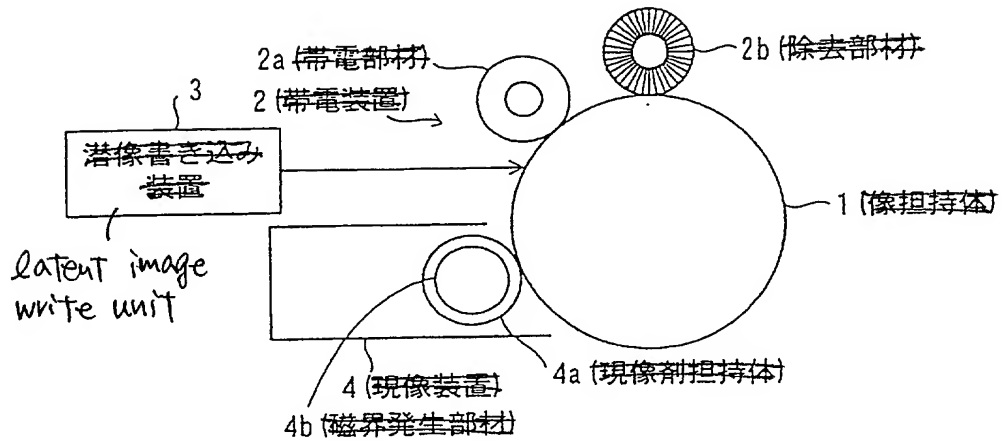
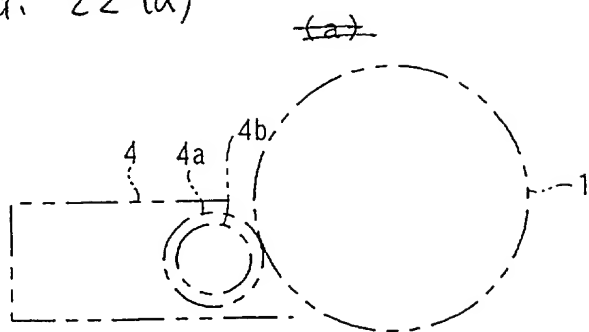
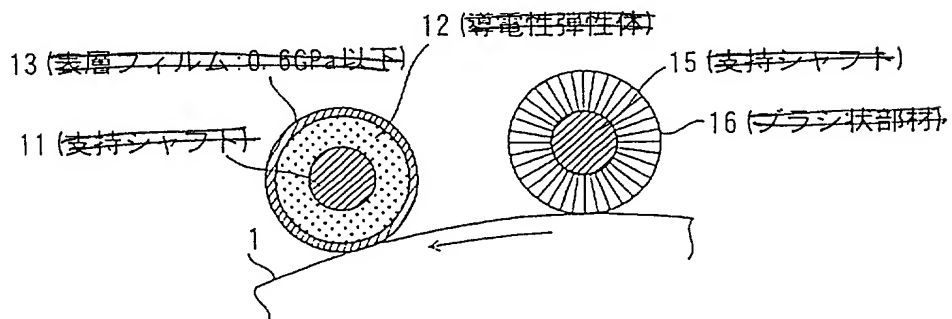


FIG. 22 (b)



22/32

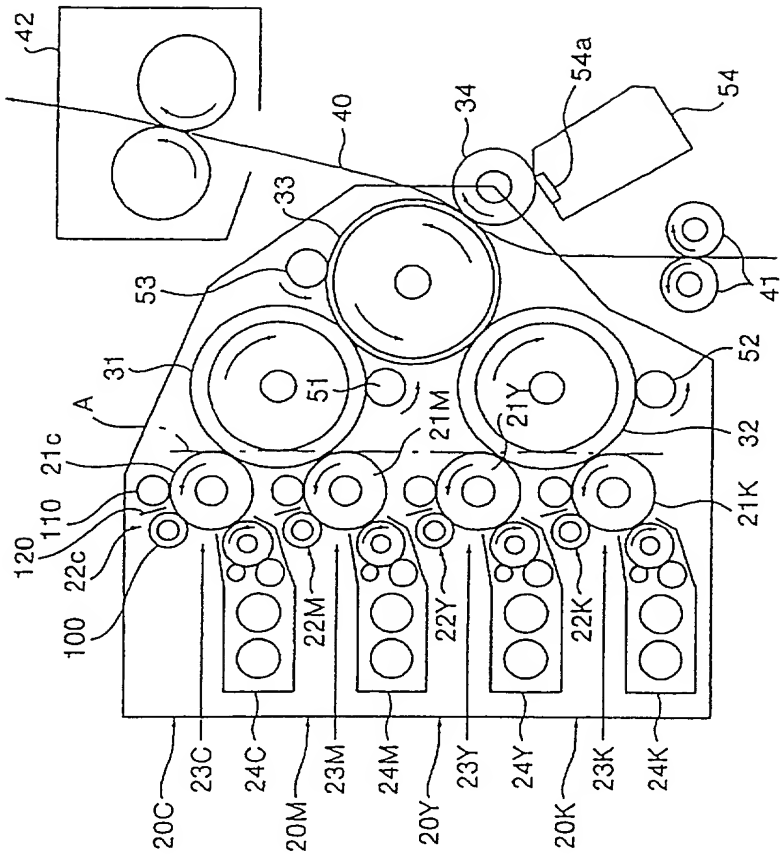
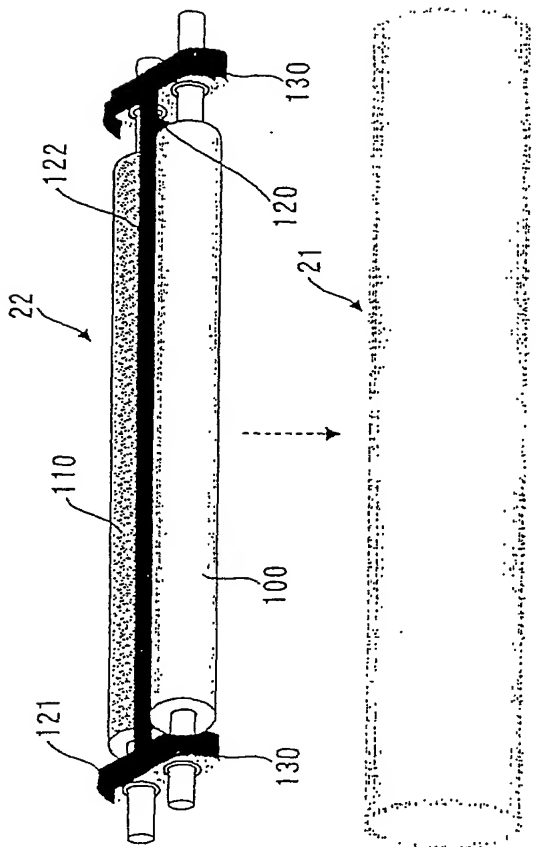


Fig. 23

23/32

Fig. 24



24/32

Fig. 25(a)

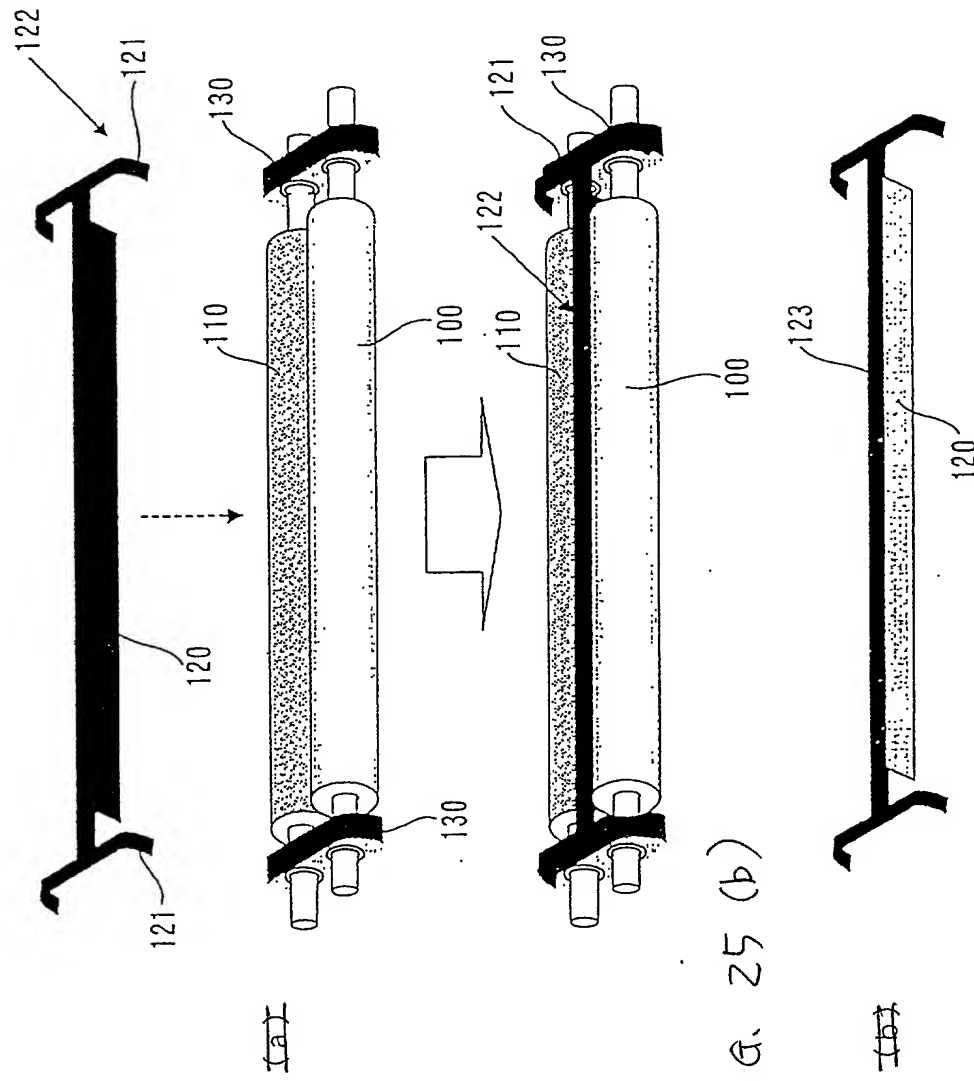
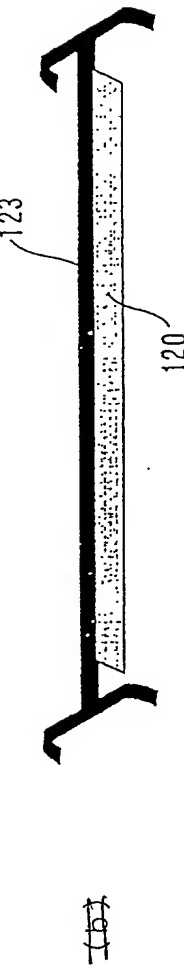


Fig. 25 (b)



25/32

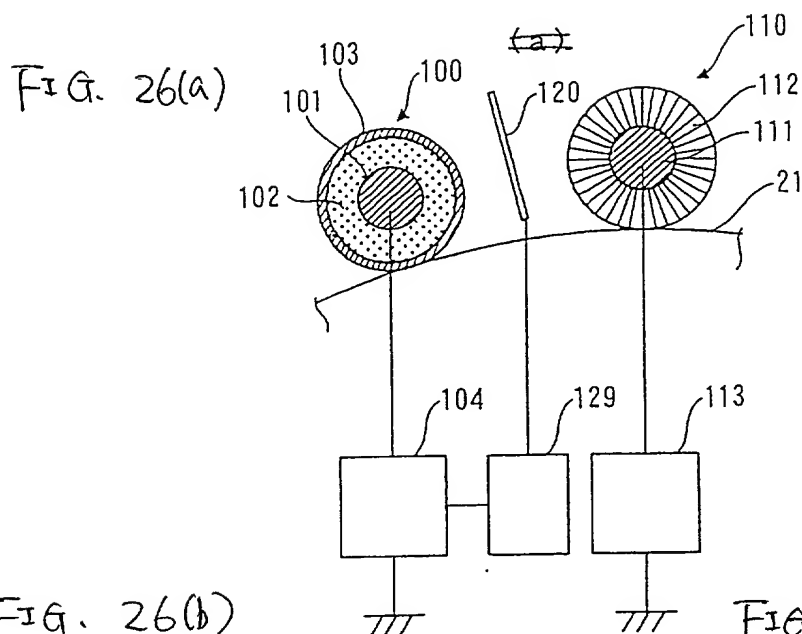


Fig. 26(b)

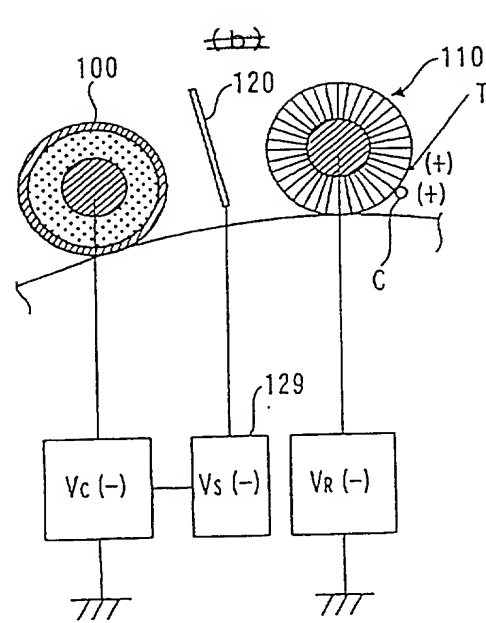
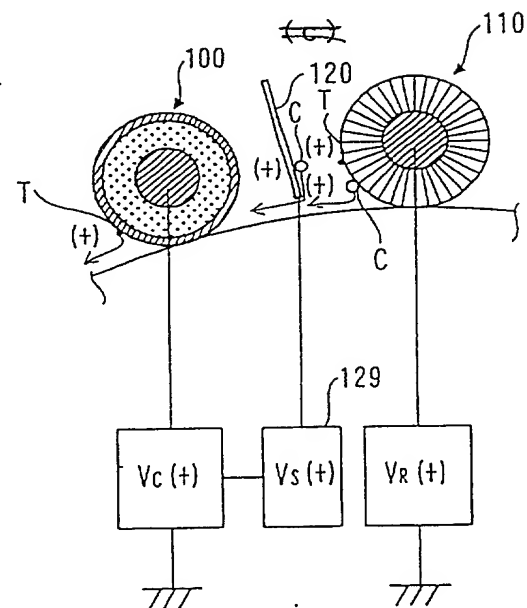


Fig. 26(c)



26/32

FIG. 27 (a)

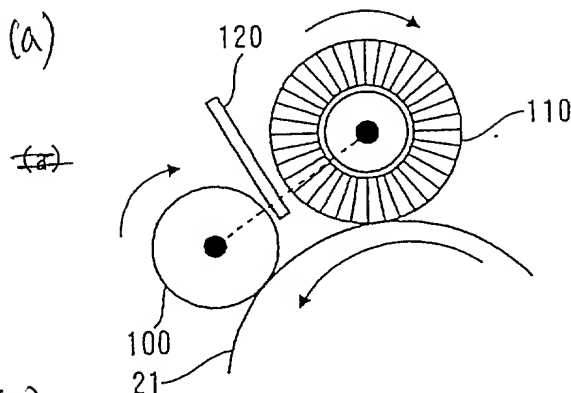


FIG. 27 (b)

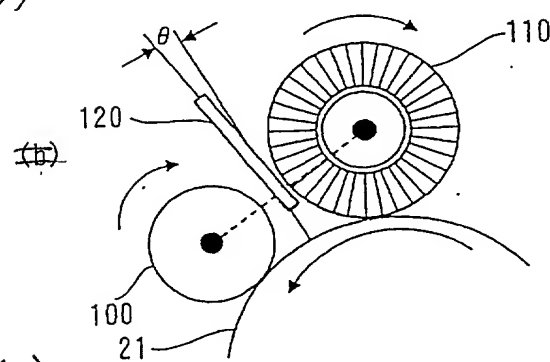
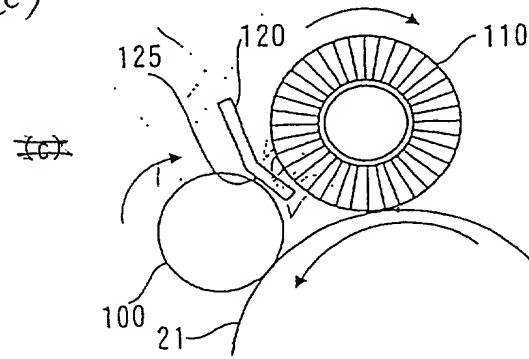


FIG. 27 (c)



27/32

FIG. 28(a)

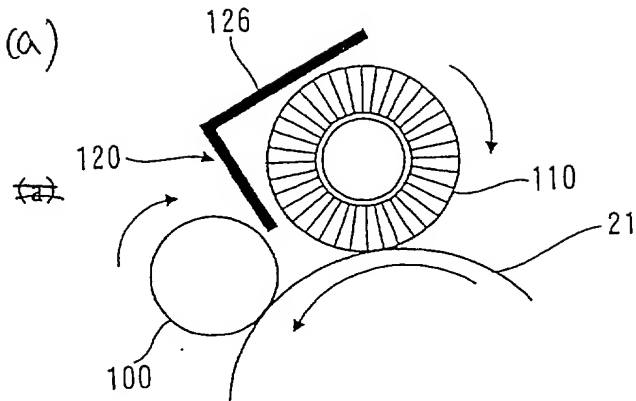


FIG. 28(b)

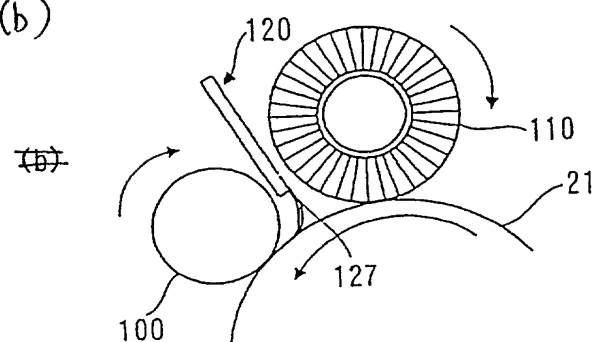
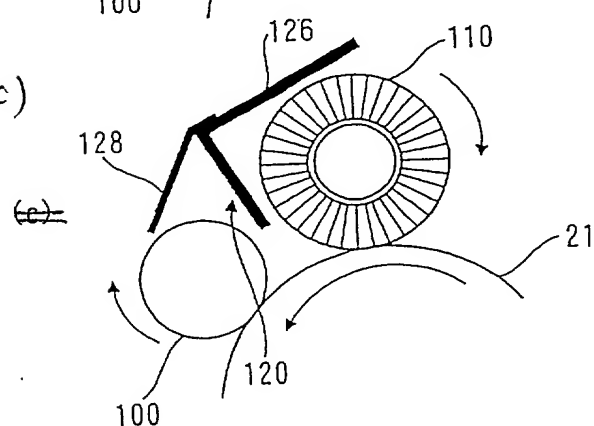


FIG. 28(c)



28/32

FIG. 29(a)

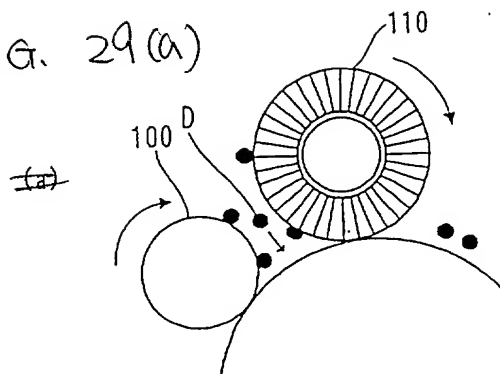


FIG. 29(b)

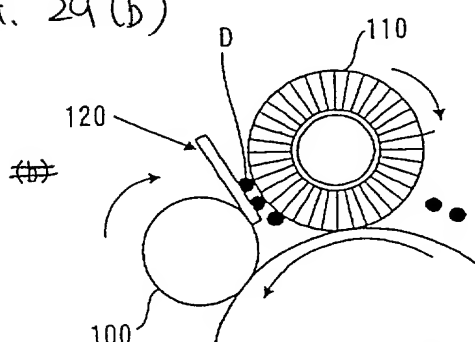
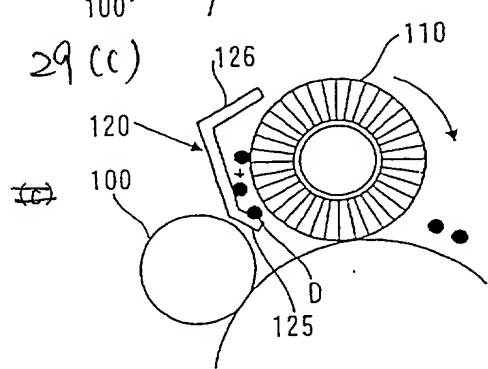
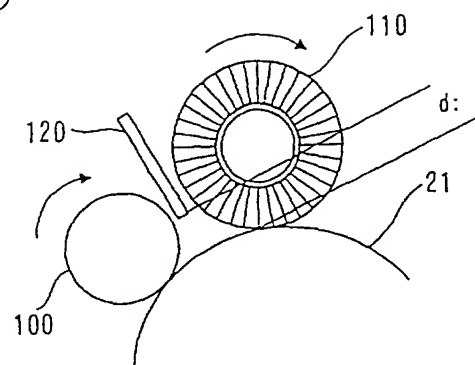


FIG. 29(c)



29/32

FIG. 30

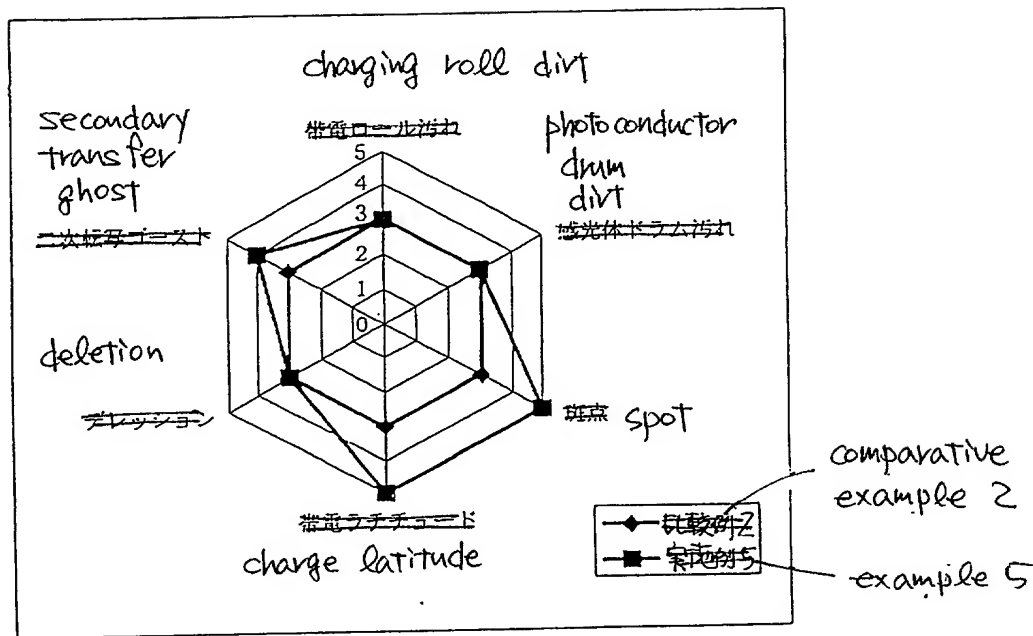


Contact

Occurrence of spot

d (mm)	斑点発生 有無
0 (接触)	○
0.5	○
1.0	○
2.0	○
3.0	○
4.0	×

FIG. 3)



31/32

FIG. 32

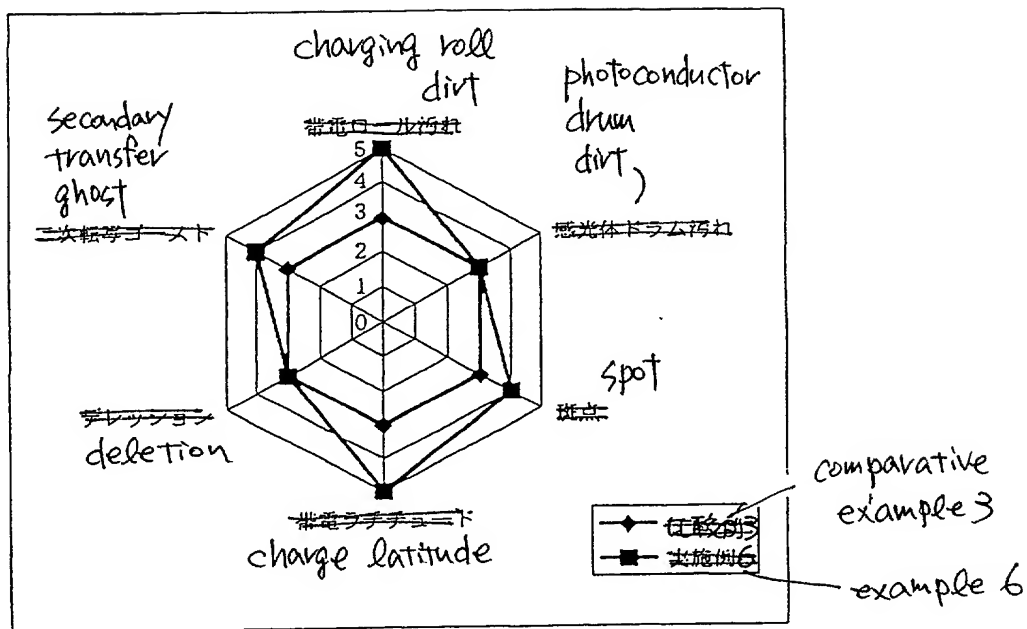


FIG.33

